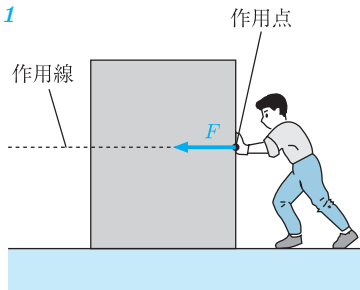


『理工系の基礎物理学』（町田光男・三浦好典 共著、学術図書出版社）

## 章末問題略解

### 第2章

2.1



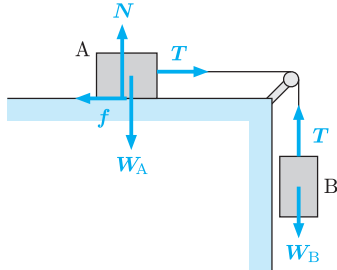
$$(1) \quad \mathbf{F}_1 = (|\mathbf{F}_1| \cos \theta_1, |\mathbf{F}_2| \sin \theta_1)$$

$$(2) \quad \mathbf{F}_1 + \mathbf{F}_2 = (|\mathbf{F}_1| \cos \theta_1 + |\mathbf{F}_2| \cos \theta_2, |\mathbf{F}_1| \sin \theta_1 + |\mathbf{F}_2| \sin \theta_2)$$

$$(3) \quad \mathbf{F}_3 = (-|\mathbf{F}_1| \cos \theta_1 - |\mathbf{F}_2| \cos \theta_2, -|\mathbf{F}_1| \sin \theta_1 - |\mathbf{F}_2| \sin \theta_2)$$

$$(4) \quad \begin{aligned} |\mathbf{F}_3|^2 &= |\mathbf{F}_1|^2 + |\mathbf{F}_2|^2 + 2|\mathbf{F}_1||\mathbf{F}_2|(\cos \theta_1 \cos \theta_2 + \sin \theta_1 \sin \theta_2) \\ &= |\mathbf{F}_1|^2 + |\mathbf{F}_2|^2 + 2|\mathbf{F}_1||\mathbf{F}_2| \cos(\theta_1 - \theta_2) \\ &(|\mathbf{F}_1|^2 + |\mathbf{F}_2|^2 + 2|\mathbf{F}_1||\mathbf{F}_2| \cos(\theta_2 - \theta_1) \text{ でも可}) \end{aligned}$$

2.3 (1)



$$(2) \quad |\mathbf{f}| = |\mathbf{T}|$$

$$(3) \quad |\mathbf{f}| = |\mathbf{W}_B|$$

$$2.4 (1) \quad W = T_3$$

$$(2) \quad \text{水平方向: } T_1 \cos \theta_1 - T_2 \cos \theta_2 = 0$$

$$\text{垂直方向: } T_1 \sin \theta_1 + T_2 \sin \theta_2 - T_3 = 0$$

$$(3) \quad T_1 = \frac{W}{\sin \theta_1 + \cos \theta_1 \tan \theta_2}$$

$$T_2 = \frac{W}{\sin \theta_2 + \cos \theta_2 \tan \theta_1}$$

$$T_3 = W$$

2.5 (1) AB間: 1.25 m/s, BC間: 0 m/s, CD間: 1.5 m/s

(2) 80 m

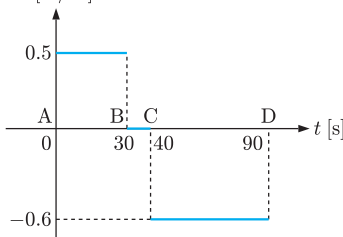
**2.6** (1)  $0.5 \text{ m/s}^2$

(2)  $0.2 \text{ m/s}^2$

(3) 加速度は大きさ  $1.5 \text{ m/s}^2$  で右向き.

**2.7** (1) AB 間 :  $0.5 \text{ m/s}^2$ , BC 間 :  $0 \text{ m/s}^2$ , CD 間 :  $-0.6 \text{ m/s}^2$

(2)  $a [\text{m/s}^2]$



(3) AB 間 :  $675 \text{ m}$ , BC 間 :  $300 \text{ m}$ , CD 間 :  $750 \text{ m}$

### 第3章

**3.1** (1)  $m_1$  の物体 :  $F - T_1 = m_1 a$

$m_2$  の物体 :  $T_1 - T_2 = m_2 a$

$m_3$  の物体 :  $T_2 = m_3 a$

(2)  $a = \frac{F}{m_1 + m_2 + m_3}$

(3)  $T_1 = \frac{m_2 + m_3}{m_1 + m_2 + m_3} F, T_2 = \frac{m_3}{m_1 + m_2 + m_3} F$

**3.2** (1) A :  $10a = 50 - f$ , B :  $10a = f$

(2)  $a = 2.5 \text{ m/s}^2$

(3)  $f = 25 \text{ N}$

**3.3** 地表に置かれた物体の質量を  $m$ , 地球の質量を  $M$ , 万有引力定数を  $G$  とすると, 地表で物体に働く万有引力は  $F = G \frac{mM}{R^2}$  である.  $r$  離れた位置での万有引力は  $\frac{F}{2}$  だから,  $\frac{F}{2} = G \frac{mM}{r^2}$  となる. これら 2 つの式から,  $r = \sqrt{2}R$  が得られる.

**3.4** 火星の重力加速度は  $6.67 \times 10^{-11} \times \frac{6.42 \times 10^{23}}{(3.37 \times 10^6)^2} = 3.77 \text{ m/s}^2$  となる. したがって, 火星での重力加速度の大きさは地球の  $\frac{3.77}{9.80} \cong 0.385$  倍となる.

**3.5** (1) A :  $-mg \sin \theta + T = ma$ , B :  $ma = mg - T$

(2)  $\frac{g(1 - \sin \theta)}{2}$

(3)  $\frac{g(1 - \sin \theta)}{2} t$

(4)  $s - \frac{g(1 - \sin \theta)}{4} t^2$

(5) 床面に達する時間は,  $s - \frac{g(1 - \sin \theta)}{4} t^2 = 0$  から,  $2\sqrt{\frac{s}{g(1 - \sin \theta)}}$  となる. この  $t$  を (3) で得られた速さに代入して  $\sqrt{sg(1 - \sin \theta)}$  が得られる.

**3.6** (1) 水平方向の運動方程式 :  $ma = F \cos \theta$

鉛直方向のつり合いの式 :  $mg = N + F \sin \theta$

(2)  $\frac{F \cos \theta}{m}$

(3)  $\frac{F \cos \theta}{m} t$

(4)  $\frac{F \cos \theta}{2m} t^2$

**3.7** (1)  $19.6 = \frac{1}{2} \times 9.8 \times t_G^2$  から,  $t_G = 2.0$ .

(2)  $v_G = 9.8 \times 2.0 = 19.6 \cong 20 \text{ m/s}$

(3)  $19.6 \times 2.0 - 0 \times 2.0 = 39.2 \cong 39 \text{ kg} \cdot \text{m/s}$

**3.8** (1)  $-1.0 \text{ N} \cdot \text{s}$

(2)  $F \times 0.10 = 1.0 \text{ N} \cdot \text{s}$  から, 撃力は  $F = 10 \text{ N}$ .

(3)  $1.0 \text{ N} \cdot \text{s}$

**3.9** (1) 水平方向の運動量変化 :  $0.2(50 \cos 60^\circ - 50) = -5 \text{ N} \cdot \text{s}$

鉛直方向の運動量変化 :  $0.2(50 \sin 60^\circ - 0) = 5\sqrt{3} \text{ N} \cdot \text{s}$

力積の大きさは運動量変化の大きさに等しいので,  $\sqrt{(5)^2 + (5\sqrt{3})^2} = 10 \text{ N} \cdot \text{s}$ .

(2)  $200 \text{ N}$

**3.10** (1)  $x$  方向 :  $mv_0 = mv_A \cos 45^\circ + Mv_B \cos 60^\circ$

$y$  方向 :  $0 = -mv_A \sin 45^\circ + Mv_B \sin 60^\circ$

(2)  $v_A = \frac{\sqrt{6}(\sqrt{3}-1)}{2} v_0$ ,  $v_B = (\sqrt{3}-1) \frac{m}{M} v_0$

**3.11** (1) 運動量保存則は,  $0 = 50 \times 0.30 + 20v$  となる. これから,  $v = -0.75 \text{ m/s}$  が得られる.

したがって, 板は右方向へ  $0.75 \text{ m/s}$  の速さで動く.

(2) 運動量保存則は  $50 \times 0.30 + 20 \times (-0.75) = 50 \times 1.0 + 20V$  となる. これから,  $V = -2.5 \text{ m/s}$  が得られる. したがって, 板は右方向へ  $2.5 \text{ m/s}$  の速さで動く.

## 第4章

**4.1** 自由落下では, 落下時間  $t$  と落下距離  $h$  との関係は  $h = \frac{1}{2}gt^2$  で表される. 数値を代入すると,

$19.6 = \frac{1}{2} \times 9.80 \times t^2$  となり,  $t = 2.00 \text{ s}$  が得られる. また, 速さ  $v$  は  $v = 2.00 \times 9.80 = 19.6 \text{ m/s}$  となる.

**4.2** (1) 初速を  $v_0$  とすると, 最高点では速度  $v = v_0 - gt$  が  $0$  なので,  $t_P$  は  $v_0 - gt_P = 0$  から求まる. 数値を代入して,  $29.4 - 9.80t_P = 0$  から,  $t_P = 3.00 \text{ s}$ .

(2)  $h_P$  は (1) で求めた  $t_P$  を物体の位置を表す式  $x = -\frac{1}{2}gt^2 + v_0t$  に代入すると求まる. 数値を代入すると,  $h_P = -\frac{1}{2} \times 9.80 \times 3.00^2 + 29.4 \times 3.00 = 44.1 \text{ m}$ .

(3)  $t_G$  は  $t_P$  の 2 倍なので,  $t_G = t_P \times 2 = 6.00 \text{ s}$ .

(4) 求めた  $t_G$  を速度の式に代入して,  $v_G = 29.4 \text{ m/s}$ .

**4.3** 投げ出したときの時刻を  $0$  とし, 図のように  $x, y$  軸をとる. 時刻  $t$  における  $x, y$  方向の速度はそれぞれ  $v_x = v_0$ ,  $v_y = -gt$  となる. また,  $t$  における  $x, y$  座標はそれぞれ  $x = v_0t$ ,  $y = h - \frac{1}{2}gt^2$  となる.

- (1) 鉛直方向に  $h = 19.6 \text{ m}$  落下すると着地するので,  $t_G$  は  $h = \frac{1}{2}gt_G^2$  の関係から求まる. 数値を代入すると,  $19.6 = \frac{1}{2} \times 9.80 \times t_G^2$  となり,  $t_G = 2.00 \text{ s}$ .

- (2)  $L$  は水平方向の速度に  $t_G$  をかけば求まるので,  $L = 2.00 \times 20.0 = 40.0 \text{ m}$ .
- (3) 着地する直前の鉛直方向の速さは  $2.00 \times 9.80 = 19.6 \text{ m/s}$ , 水平方向の速さは  $20.0 \text{ m/s}$  である. したがって, 着地する直前の速さは  $v_G = \sqrt{19.6^2 + 20.0^2} \cong 28.0 \text{ m/s}$ .

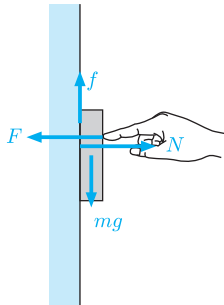
**4.4** 投げ出したときの時刻を 0 とし, 図のように  $x, y$  軸をとる. 時刻  $t$  における  $x, y$  方向の速度はそれぞれ  $v_x = v_0 \cos 30^\circ$ ,  $v_y = v_0 \sin 30^\circ - gt$  であり,  $x, y$  座標はそれぞれ  $x = v_0 \cos 30^\circ \cdot t$ ,  $y = h + v_0 \sin 30^\circ \cdot t - \frac{1}{2}gt^2$  である.

- (1) P では  $v_y = 0$  なので,  $0 = 29.4 \sin 30^\circ - 9.80t_P$  となり,  $t_P = 1.50 \text{ s}$  が得られる.
- (2)  $t_P$  を  $y$  に代入して,  $19.6 + 29.4 \sin 30^\circ \times 1.50 - \frac{1}{2} \times 9.80 \times 1.50^2 \cong 30.6 \text{ m}$  が得られる.
- (3)  $t_G$  は  $y = 0$  の正の解なので,

$$t_G = \frac{v_0 + \sqrt{v_0^2 + 8gh}}{2g} = \frac{29.4 + \sqrt{29.4^2 + 8 \times 9.80 \times 19.6}}{2 \times 9.80} \cong 4.00 \text{ s.}$$

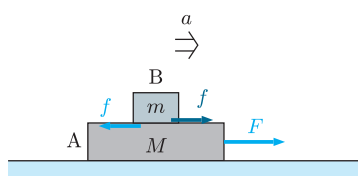
- (4)  $x$  に  $t_G$  を代入して,  $L = 4.00 \times 29.4 \cos 30^\circ \cong 102 \text{ m}$ .

**4.5** 物体には  $F$  のほかに, 壁からの垂直抗力  $N$ , 摩擦力  $f$ , 重力  $mg$  が働いている.  $F = N$ ,  $f = \mu F$  なので,  $\mu F \geq mg$  であれば物体は落下しない. したがって,  $F \geq \frac{mg}{\mu}$ .



**4.6** 雨滴の密度を  $\rho$ , 半径を  $r$  とすると, 雨滴の質量  $m$  は  $m = \frac{4}{3}\pi r^3 \rho$  となる. 終端速度は重力加速度の大きさを  $g$ , 抵抗力の比例定数を  $b$  とすると,  $v_\infty = \frac{mg}{b}$  なので,  $\rho$  と  $r$  を用いて表すと  $v_\infty = \frac{4\pi r^3 \rho g}{3b}$  となる. 一方, 半径が  $2r$  の雨滴の終端速度  $v'_\infty$  は, 抵抗の比例定数が  $2b$  となるので,  $v'_\infty = \frac{mg}{2b} = \frac{4\pi(2r)^3 \rho g}{6b}$  となる. したがって, 雨滴の半径が 2 倍になると終端速度は 4 倍になる.

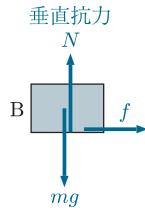
**4.7** (1) (a) A, B には図に示した力が働く. したがって, A, B の運動方程式はそれぞれ  $Ma = F - f$ ,  $ma = f$ .



(b) これらの運動方程式から,  $a = \frac{F}{m+M}$ .

(2) (1) から静止摩擦力は  $f = \frac{m}{m+M} F$ . B が A に対して動かないためには  $f \leq \mu mg$  であればよいので,  $F \leq \mu g(m+M)$ .

(3) (a) B には図に示した力が働く. したがって, 右に動く.



(b) A, B には図に示した力が働く. したがって, A, B の運動方程式はそれぞれ  $M\alpha = F - \mu' mg$ ,  $m\beta = \mu' mg$ .

$$\xrightarrow{\beta} \text{B } m \quad f = \mu' mg$$

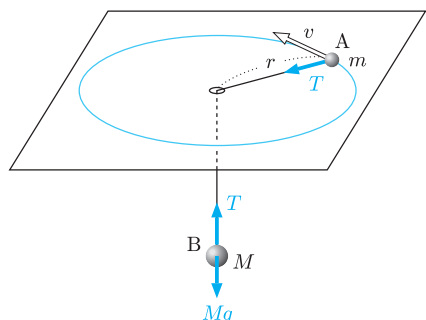
$$\xrightarrow{\alpha} \text{A } M \quad f = \mu' mg \quad F$$

(c)  $\alpha = \frac{F - \mu' mg}{M}, \beta = \mu' g$

**4.8** (1) 向心力は重力と張力との和に等しいので,  $m \frac{v^2}{l} = mg + T$ .

(2) 糸がたるまないためには  $T \geq 0$  だから,  $v \geq \sqrt{gl}$ .

**4.9** A の速さを  $v$ , 糸の張力を  $T$  とすると, A の運動方程式は  $m \frac{v^2}{r} = T$  となる. B は静止しているので, つり合いの式  $Mg - T = 0$  が成り立つ. これらの式から,  $v = \sqrt{\frac{rgM}{m}}$ .



**4.10** (1)  $mg - k\Delta l = 0$  から,  $\Delta l = \frac{mg}{k}$ .

(2) ばねの伸びは  $x + \frac{mg}{k}$  だから, ばねの復元力は  $-k \left( x + \frac{mg}{k} \right)$ . おもりには鉛直下向きの重力  $mg$  も働いているので, 運動方程式は  $m \frac{d^2 x}{dt^2} = mg - k \left( x + \frac{mg}{k} \right) = -kx$  となる.

$$(3) \text{ 角振動数} : \sqrt{\frac{k}{m}}, \text{ 周期} : 2\pi\sqrt{\frac{m}{k}}$$

**4.11** (1)  $T_1$  は長さ  $l$  の振り子の半周期に相当するので,

$$T_1 = \frac{1}{2} 2\pi \sqrt{\frac{l}{g}} = \pi \sqrt{\frac{l}{g}}.$$

$$(2) T_2 \text{ は長さ } \frac{2}{3}l \text{ の振り子の半周期に相当するので, } T_2 = \frac{1}{2} 2\pi \sqrt{\frac{1}{g} \frac{2}{3}l} = \pi \sqrt{\frac{2l}{3g}}.$$

$$(3) T = \pi \sqrt{\frac{l}{g}} \left( 1 + \sqrt{\frac{2}{3}} \right)$$

## 第5章

**5.1** (1) 加えた力の向きと物体が移動する方向が同じなので, 仕事は  $30 \times 5.0 = 150 \text{ J}$ .

(2) 摩擦力と物体は移動する方向が反対なので, 仕事は  $-30 \times 5.0 = -150 \text{ J}$ .

(3) 垂直抗力と物体の移動方向は垂直なので, 仕事は  $0 \text{ J}$ .

(4) 重力と物体の移動方向は垂直なので, 仕事は  $0 \text{ J}$ .

**5.2** (1) 物体が移動する方向と  $F$  は垂直なので, 仕事は  $0$ .

(2) 重力  $F = mg$  と移動する方向が反対なので, 仕事は  $-mgh$ .

(3) 重力  $F = mg$  と移動する方向が同じなので, 仕事は  $mgh$ .

**5.3** はじめの運動エネルギーがすべて摩擦力の仕事に変わってしまうので, 摩擦力がする仕事の大きさは  $\frac{1}{2}mv_0^2$ .

$$\text{5.4} \quad \frac{1}{2} \times 1.0 \times 5.0^2 - \frac{1}{2} \times 1.0 \times 1.0^2 = 12 \text{ J}$$

$$\text{5.5} \quad (1) \quad \frac{1}{2}mv_0^2 = mgh + \frac{1}{2}mv^2 \text{ の関係から, } v = \sqrt{v_0^2 - 2gh}.$$

$$(2) \quad \frac{1}{2}mv_0^2 = mgH \text{ の関係から, } H = \frac{v_0^2}{2g}.$$

$$\text{5.6} \quad (1) \quad mgl(1 - \cos \theta) = \frac{1}{2}mV^2 \text{ の関係から, } V = \sqrt{2gl(1 - \cos \theta)}.$$

$$(2) \quad mgl(1 - \cos \theta) = \frac{1}{2}mv^2 + mgl(1 - \cos \phi) \text{ の関係から, }$$

$$v = \sqrt{2gl(\cos \phi - \cos \theta)}.$$

$$\text{5.7} \quad (1) \quad \text{つり合いの関係 } mg - kx = 0 \text{ から, } x = \frac{mg}{k}.$$

$$(2) \quad Q \text{ に位置するときのおもりの力学的エネルギーは } \frac{1}{2}k(2x)^2 - mg(2x) \text{ と表せる. これに (1) で求めた } x \text{ を代入すると, 力学的エネルギーは } \frac{1}{2}k\left(2\frac{mg}{k}\right)^2 - mg\left(2\frac{mg}{k}\right) = 0.$$

$$(3) \quad P \text{ に位置するときのおもりの力学的エネルギーは } \frac{1}{2}kx^2 - mgx + \frac{1}{2}mv^2 \text{ と表せる. これに (1) で得られた } x \text{ を代入すると, 力学的エネルギーは } \frac{1}{2}mv^2 - \frac{m^2g^2}{2k} \text{ となる. 力学的エネルギー保存則から P での力学的エネルギーも } 0 \text{ となるので, } \frac{1}{2}mv^2 - \frac{m^2g^2}{2k} = 0 \text{ から, } v = g\sqrt{\frac{m}{k}}.$$

- (4) ばねが最も縮んだとき, 力学的エネルギーは  $mgz + \frac{1}{2}kz^2$  と表せる。力学的エネルギー保存則  
 $mgz + \frac{1}{2}kz^2 = 0$  より,  $z = -\frac{2mg}{k}$  が得られる。したがって, ばねの長さは  $l - \frac{2mg}{k}$ 。

- 5.8** (1) おもりの速さ  $v(t)$  は  $x(t)$  を  $t$  で微分して,  $v(t) = \frac{dx}{dt} = C\omega \cos \omega t$ 。したがって, 運動エネルギーは  $K(t) = \frac{1}{2}mv(t)^2 = \frac{1}{2}mC^2\omega^2 \cos^2 \omega t = \frac{1}{2}kC^2 \cos^2 \omega t$  であり, 弾性力による位置エネルギーは  $U(t) = \frac{1}{2}kx^2 = \frac{1}{2}kC^2 \sin^2 \omega t$  である。  
(2)  $K(t) + U(t) = \frac{1}{2}kC^2 \cos^2 \omega t + \frac{1}{2}kC^2 \sin^2 \omega t = \frac{1}{2}kC^2$ 。これは力学的エネルギーが時間によらず一定であることを表す。

- 5.9** (1)  $mv_A - mv_B = 2mv$  から,  $v = \frac{v_A - v_B}{2}$ 。 $v_A > v_B$  のとき, 右方向へ進み,  $v_A < v_B$  のとき, 左方向へ進む。また,  $v_A = v_B$  のとき, 静止する。  
(2) 衝突前の運動エネルギーは  $\frac{1}{2}m(v_A^2 + v_B^2)$ , 衝突後は  $\frac{1}{4}m(v_A - v_B)^2$  であり, 運動エネルギーの変化は  $\frac{1}{4}m(v_A - v_B)^2 - \frac{1}{2}m(v_A^2 + v_B^2) = -\frac{1}{4}m(v_A + v_B)^2 < 0$  である。したがって, 衝突後, 運動エネルギーは  $\frac{1}{4}m(v_A + v_B)^2$  だけ減少する。

- 5.10** (1)  $mg\mu' \cos \theta$

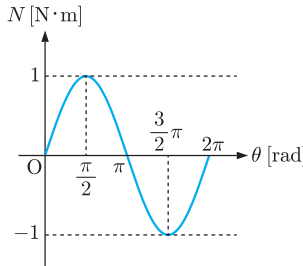
(2)  $mg\mu' x \cos \theta$

(3)  $mgx \sin \theta$

(4)  $\frac{1}{2}mv^2 - mgx \sin \theta = mg\mu' x \cos \theta$  から,  $x = \frac{v^2}{2g(\sin \theta + \mu' \cos \theta)}$ .

## 第6章

- 6.1**  $N = 1 \times 1 \times \sin \theta = \sin \theta$  から, 図のように描ける。



- 6.2** (1)  $3.0 \times 3.0 - 2.0 \times 5.0 \times \sin 30^\circ = 4.0 \text{ N} \cdot \text{m}$

(2)  $-3.0 \times 5.0 \times \sin 30^\circ - 2.0 \times 3.0 = -13.5 \text{ N} \cdot \text{m}$

- 6.3** OA の長さを  $x$  とすると, 力のモーメントのつり合いの式は,  $m_A gx - m_B g(l - x) = 0$ 。これから,  $x = \frac{m_B}{m_A + m_B}l$  が得られ, OB の長さは  $\frac{m_A}{m_A + m_B}l$ 。したがって,  $\frac{\text{OA}}{\text{OB}} = \frac{m_B}{m_A}$ 。

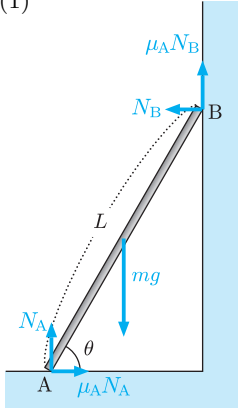
- 6.4** A のまわりの力のモーメントのつり合いから  $T \sin 30^\circ \times l - mg \cos 30^\circ \times \frac{l}{2} = 0$ 。したがって,

$$T = \frac{\sqrt{3}}{2}mg.$$

- 6.5** (1)  $-F_1(x_1 - x_0) - F_2(x_0 - x_2) + F_3(x_0 - x_3) = -F_1x_1 + F_2x_2 - F_3x_3 + (F_1 - F_2 + F_3)x_0$

- (2) 力のつり合いは  $F_2 - F_1 - F_3 = 0$ . この関係を (1) に代入すると,  $-F_1x_1 + F_2x_2 - F_3x_3$  が得られる.

### 6.6 (1)



(2) 水平方向:  $\mu_A N_A = N_B$

鉛直方向:  $N_A + \mu_B N_B = mg$

(3)  $N_A = \frac{mg}{1 + \mu_A \mu_B}$ ,  $N_B = \frac{\mu_A mg}{1 + \mu_A \mu_B}$

(4)  $N_B L \sin \theta + \mu_B N_B L \cos \theta - \frac{1}{2} mg L \cos \theta = 0$

(5) (4) に (3) を代入して,  $\tan \theta = \frac{1 - \mu_A \mu_B}{2\mu_A}$  が得られる. したがって,  $\tan \theta \geq \frac{1 - \mu_A \mu_B}{2\mu_A}$ .

**6.7** 粒子 1: 角運動量  $mr^2\omega$ ,  $z$  軸の負の向き. 粒子 2: 角運動量  $4mr^2\omega$ ,  $z$  軸の正の向き.

**6.8** (1) 微小部分の質量は  $dm = \sigma b dy$  なので, この微小部分の  $x$  軸まわりの慣性モーメントは  $y^2 dm = y^2 \sigma b dy$ .

(2)  $I = \int_{-\frac{a}{2}}^{\frac{a}{2}} y^2 \sigma b dy = \frac{\sigma}{12} a^3 b$

(3)  $M = \sigma ab$  なので, 慣性モーメントは  $I = \frac{1}{12} Ma^2$ .

## 第 7 章

**7.1** 100 g の銅製容器の熱容量は  $100 \times 0.38 = 38 \text{ J/K}$ . これと同じ熱容量を持つ水の質量は  $\frac{38}{4.2} \cong 9.0 \text{ g}$ .

**7.2** 銅の比熱を  $c$  とすると,  $100 \times 2.0 \times c = 76$  の関係から,  $c = \frac{76}{2.0 \times 100} = 0.38 \text{ J/(g \cdot K)}$ .

**7.3** 金属球の比熱を  $c$  とする. 熱量保存の関係  $(42 + 4.2 \times 90) \times (40 - 30) = 200 \times c \times (90 - 40)$  から,  $c = 0.42 \text{ J/(g \cdot K)}$ .

**7.4** (1) 平地では,  $100^\circ\text{C}$  で水が沸騰するため, 米の中まで火が通るが, 標高が高い所では,  $100^\circ\text{C}$  に達する前に水が沸騰する. そのため, 米の中まで十分火が通らず芯が残る.

(2) スケートシューズの歯には大きな圧力 (人の体重 ÷ 歯の面積) がかかるので, シューズの歯の圧力がかかると固体の氷が液体に変化する. そのため滑った所だけ氷が水になり, 軌跡として現れる.

**7.5** (1) 図から  $230^\circ\text{C}$ .

(2) 吸収する熱量は  $Q = 9.8 \times 7.0 \times 60 = 4116 \cong 4.1 \times 10^3 \text{ J}$ .

- (3) 容器の熱容量を  $C$ , スズの質量を  $m$ , スズの比熱を  $c$  とする. 容器全体の温度変化が  $\Delta T$  のとき,  $Q = (mc + C)\Delta T$  が成り立つので,  $(50 \times c + 8.0) \times (230 - 20) = 4.1 \times 10^3$ . したがって,  $c \cong 0.23 \text{ J}/(\text{g} \cdot \text{K})$ .

**7.6** 体積が  $5.0 \text{ m}^3$ , 圧力が  $0.20 \times 10^5 \text{ Pa}$  のとき気体の温度を  $T$  とする. ポイル・シャルルの法則  $\frac{0.80 \times 10^5 \times 1.0}{320} = \frac{0.20 \times 10^5 \times 5.0}{T}$  から  $T = 400 \text{ K}$ .

**7.7** (1) シリンダー内の気体の圧力を  $p$  とすると, 力のつり合いの条件

$$pS = p_0S + mg \text{ から, } p = p_0 + \frac{mg}{S}.$$

- (2) シリンダーを水平に置くと, ピストンの加重による圧力は働くなくなるので, シリンダー内の圧力は  $p_0$  に変化する. 温度が一定なので, ポイルの法則  $pSh = p_0SL$  から,  $L = \frac{p}{p_0}h = \left( \frac{mg}{p_0S} + 1 \right)h$ .

**7.8** (1) ポイル・シャルルの法則  $\frac{p_1V_0}{T_1} = \frac{p_0V_0}{T_0}$  から,  $p_1 = \frac{T_1}{T_0}p_0$ .

(2) ポイル・シャルルの法則  $\frac{p_1V_2}{T_0} = \frac{p_0V_0}{T_0}$  に (1) の  $p_1$  を代入すると,

$$V_2 = \frac{p_0}{p_1} \frac{T_0}{T_1} V_0 = \frac{T_0}{T_1} V_0.$$

## 第8章

**8.1**  $Q = 2.26 \times 10^3 \text{ J}$ ,  $p = 1.01 \times 10^5 \text{ Pa}$ ,  $\Delta V = 1.67 \times 10^{-3} - 1 \times 10^{-6} \cong 1.67 \times 10^{-3} \text{ m}^3$  を内部エネルギー変化  $\Delta E = Q - p\Delta V$  に代入すると,  $\Delta E = 2.26 \times 10^3 - 1.01 \times 10^5 \times 1.67 \times 10^{-3} \cong 2.09 \times 10^3 \text{ J}$  が得られる.

**8.2** 等温変化なので内部エネルギーは一定 ( $\Delta E = 0$ ) で,  $Q = -W$ . したがって, 式 (8.13) を用いて, 気体が吸収した熱量は  $Q = nRT \log \frac{V_f}{V_i} = 0.500 \times 8.31 \times 300 \times \log 3 \cong 1.37 \times 10^3 \text{ J}$ .

**8.3** 理想気体の等温膨張なので,  $Q = -W = \int_{V_i}^{V_f} p dV = nRT \int_{V_i}^{V_f} \frac{dV}{V} = nRT \log \frac{V_f}{V_i} = nRT \log \frac{p_i}{p_f} = 1.0 \times 8.3 \times 300 \times \log 15 \cong 6.7 \times 10^3 \text{ J}$ .

**8.4** 热力学の第1法則  $\Delta E = Q - p\Delta V$  を用いる.  $p = 1.0 \times 10^5 \text{ Pa}$ ,  $\Delta Q = 8.4 \text{ J}$ ,  $\Delta V = 2.0 \times 10^{-5} \text{ m}^3$  を代入すると,  $\Delta E = 8.4 - 1.0 \times 10^5 \times 2.0 \times 10^{-5} = 6.4 \text{ J}$ .

**8.5** (1)  $A \rightarrow B$ : 定積変化,  $A \rightarrow C$ : 定圧変化

(2)  $A \rightarrow C$ . 定圧変化では, 気体が膨張するとき外部に仕事をする.

(3)  $A \rightarrow C$  で外部にする仕事を  $W$  とし,  $A \rightarrow B$ ,  $A \rightarrow C$  での内部エネルギーの変化量をそれぞれ  $\Delta E_B$ ,  $\Delta E_C$  とする. 热力学の第1法則から  $\Delta E_B = Q$ ,  $\Delta E_C = Q - W < \Delta E_B$  となる. 内部エネルギーの大きい方が高温なので,  $B$  の方が高温.

**8.6** (1)  $W_I = p_f(V_f - V_i) = 1.00 \times 10^5 \times (1.00 \times 10^{-1} - 5.00 \times 10^{-2}) \cong 5.0 \text{ kJ}$

(2)  $W_{II} = nRT \log \frac{V_f}{V_i} = p_i V_i \log \frac{V_f}{V_i} = p_f V_f \log \frac{V_f}{V_i} = 1.0 \times 10^4 \times \log 2 \cong 6.9 \text{ kJ}$

## 第9章

**9.1**  $T_H = 303 \text{ K}$ ,  $T_L = 278 \text{ K}$  を可逆サイクルの熱効率に代入すると,

$$e = \frac{T_H - T_L}{T_H} = \frac{303 - 278}{303} \cong 0.0825.$$

**9.2**  $T_i = 273 \text{ K}$ ,  $T_f = 373 \text{ K}$ ,  $m = 1.0 \text{ g}$ ,  $c = 4.2 \text{ J}/(\text{g} \cdot \text{K})$  とすると, エントロピー変化は

$$\Delta S = \int_{T_i}^{T_f} \frac{mc}{T} dT = mc \log \frac{T_f}{T_i} = 1.0 \times 4.2 \times \log \frac{373}{273} \cong 1.3 \text{ J/K}.$$

**9.3**  $0^{\circ}\text{C}$  の水  $1\text{g}$  が  $0^{\circ}\text{C}$  の水になるときのエントロピーの変化量を  $\Delta S_1$ ,  $0^{\circ}\text{C}$  の水  $1\text{g}$  が  $100^{\circ}\text{C}$  のお湯になるときのエントロピーの変化量を  $\Delta S_2$ ,  $100^{\circ}\text{C}$  のお湯  $1\text{g}$  が  $100^{\circ}\text{C}$  の水蒸気になるとときのエントロピーの変化量を  $\Delta S_3$  とする。これらをそれぞれ求めると,  $\Delta S_1 = \frac{0.335 \times 10^3}{273} \cong 1.23 \text{ J/K}$ ,

$$\Delta S_2 = mc \log \frac{T_2}{T_1} = 1.00 \times 4.18 \times \log \frac{373}{273} \cong 1.30 \text{ J/K}, \Delta S_3 = \frac{2.26 \times 10^3}{373} \cong 6.06 \text{ J/K}.$$

したがって, 全エントロピーの増加は  $\Delta S = \Delta S_1 + \Delta S_2 + \Delta S_3 = 8.59 \text{ J/K}$ .

**9.4** (1) 理想気体の内部エネルギーは温度のみの関数であるから等温過程では  $\Delta E = 0$ . したがって,

$$\text{熱力学の第1法則から, } \Delta Q = -\Delta W = \int_{V_1}^{V_2} p dV = RT \int_{V_1}^{V_2} \frac{dV}{T} = RT \log \frac{V_2}{V_1}.$$

(2) 準静的変化なので系の中でのエントロピーの生成はなく, 系のエントロピーの増加は外部から流入した熱によるものだけである. したがって,  $\Delta S = \frac{\Delta Q}{T} = R \log \frac{V_2}{V_1}$ .

**9.5** (1) 断熱変化なので,  $\Delta Q = 0$ . 系は仕事をしないので,  $\Delta W = 0$ . したがって,  $\Delta E = 0$  である. 理想気体の  $E$  は  $T$  だけの関数なので,  $T$  は一定となる.

(2) エントロピーは状態量であるから, 状態  $i$  から状態  $f$  への等温準静的過程を考えると, エントロピーの差は,  $\Delta S = \frac{\Delta Q}{T} = \frac{p\Delta V}{T} = \int_{V_1}^{V_1+V_2} \frac{R}{V} dV = R \log \frac{V_1+V_2}{V_1}$  となる.

(3)  $\Delta Q = 0$  にも関わらず,  $\Delta S > 0$  である. 系の中でエントロピーが発生しているので, 不可逆過程である.

**9.6** 物体のエントロピー変化は  $\Delta S_1 = \int_{T_1}^{T_2} \frac{mc dT}{T} = mc \log \frac{T_2}{T_1} = 100 \times 0.400 \times \log \frac{300}{400} \cong -11.5 \text{ J/K}$ . 大気のエントロピー変化は  $\Delta S_2 = \frac{100 \times 0.400 \times 100}{300} \cong 13.3 \text{ J/K}$ . したがって, 全エントロピーの増加量は  $\Delta S = \Delta S_1 + \Delta S_2 = 1.8 \text{ J/K}$ .

**9.7** A は  $400\text{ K}$  から  $300\text{ K}$  に変化したので, エントロピー変化は  $\Delta S_A = 40.0 \times \log \frac{300}{400} \cong -11.5 \text{ J/K}$ . B は  $200\text{ K}$  から  $300\text{ K}$  に変化したので, エントロピー変化は  $\Delta S_B = 40.0 \times \log \frac{300}{200} \cong 16.2 \text{ J/K}$ . A と B を合わせたエントロピー変化は  $\Delta S = \Delta S_A + \Delta S_B = 4.7 \text{ J/K}$  となる.

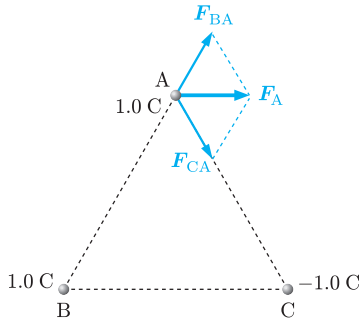
**9.8** 分子間の相互作用がない理想気体の混合は, それぞれの気体の自由膨張とみなせる. A は体積  $V_A$  の領域から体積  $V_A + V_B$  の領域への自由膨張, B は体積  $V_B$  の領域から体積  $V_A + V_B$  の領域への自由膨張なので, A と B を合わせた系のエントロピー変化は  $\Delta S = n_A R \log \frac{V_A + V_B}{V_A} + n_B R \log \frac{V_A + V_B}{V_B}$  となる.

## 第10章

**10.1** A と B の電荷は異符号, A と C の電荷は同符号なので, B と C の電荷は異符号である. したがって, B と C を近づけると, 互いに引き合う.

**10.2** 電荷を結ぶ線上で  $1.0 \times 10^{-6} \text{ C}$  の電荷からの距離が  $x$  の点に  $-1.0 \text{ C}$  の電荷を置いたとすると, この電荷に働く静電気力は,  $F = k \frac{9.0 \times 10^{-6} \times (-1.0)}{(4.0 - x)^2} - k \frac{1.0 \times 10^{-6} \times (-1.0)}{x^2}$  となる.  $F = 0$  から,  $x = 1.0 \text{ m}$  が得られる.

**10.3** A の電荷は, B の電荷から大きさ  $F_{BA} = 9.0 \times 10^9 \times \frac{1.0 \times 1.0}{3.0^2} = 1.0 \times 10^9 \text{ N}$  の反発力を受ける. また, A の電荷は C の電荷から大きさ  $F_{CA} = 9.0 \times 10^9 \times \frac{1.0 \times 1.0}{3.0^2} = 1.0 \times 10^9 \text{ N}$  の引力を受けれる. A の電荷が B と C の電荷から受ける力の合力の大きさ  $F_A$  は  $F_A = F_{BA} = F_{CA} = 1.0 \times 10^9 \text{ N}$  となり, 合力の向きは右向き ( $B \rightarrow C$ ) となる.

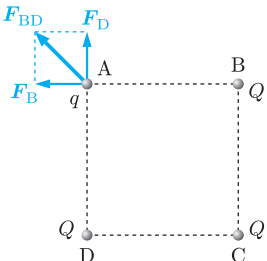


**10.4** P の電荷  $Q$  が A, B の電荷から受ける力の大きさをそれぞれ  $F_{AP}$ ,  $F_{BP}$  とすると,  $F_{AP} = 9.0 \times 10^9 \times \frac{3.0 \times |Q|}{1.0^2} = 2.7 \times |Q| \times 10^{10} \text{ N}$ ,  $F_{BP} = 9.0 \times 10^9 \times \frac{3.0 \times |Q|}{3.0^2} = 3.0 \times |Q| \times 10^9 \text{ N}$ . これらの力の合力が B に向かう力になるためには  $Q > 0$  となる必要がある. したがって,  $2.7 \times Q \times 10^{10} - 3.0 \times Q \times 10^9 = 2.4 \times 10^{10}$  から  $Q = 1.0 \text{ C}$ .

**10.5** 正方形の辺の長さを  $L$ , 電荷  $q$  と B の電荷  $Q$  との間の静電気力の大きさを  $F_B$ , 電荷  $q$  と D の電荷  $Q$  との間の静電気力の大きさを  $F_D$  とすると,  $F_B = F_D = k \frac{qQ}{L^2}$  であり, これらの合力の大きさは  $F_{BD} = \sqrt{2} k \frac{qQ}{L^2}$  となる. この力を打ち消すためには,  $q$  と  $Q'$  の間の力が引力で, その大きさが  $F_{BD}$  になつていればよい. AC 間の距離は  $\sqrt{2} L$  なので, 求める  $Q'$  は次の関係を満たす必要がある.

$$-\sqrt{2} k \frac{qQ}{L^2} = k \frac{qQ'}{(\sqrt{2} L)^2}$$

これから,  $Q' = -2\sqrt{2} Q$  が得られる.



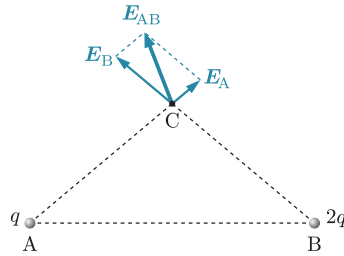
**10.6** 2つの小球の距離は  $2L \sin \theta$  である. 糸の張力を  $T$ , 小球に与えられた電荷間に働くクーロン力を  $F$  とする. 小球には重力  $mg$  も働いているので, つり合いの条件は  $T \cos \theta = mg$ ,  $T \sin \theta = F$  となる. これから,  $F = mg \tan \theta$  が得られる. したがって,  $k \frac{q^2}{(2L \sin \theta)^2} = mg \tan \theta$  が成立し, これから

$$q = 2L \sin \theta \sqrt{\frac{mg \tan \theta}{k}}$$

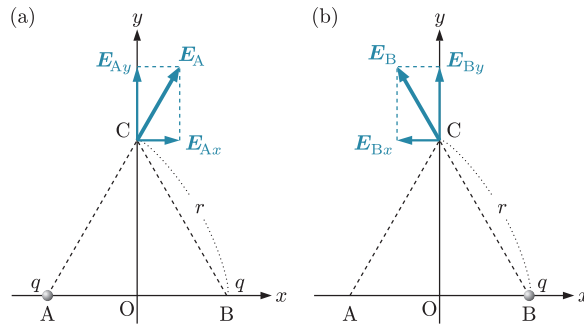
## 第 11 章

**11.1** A, B の電荷が O につくる電場をそれぞれ  $E_A$ ,  $E_B$  とする.  $x$  軸の方向を電場の正の方向とすると,  $E_A = -9.0 \times 10^9 \times \frac{4.0 \times 10^{-6}}{(-0.10)^2} = -3.6 \times 10^6 \text{ N/C}$ ,  $E_B = -9.0 \times 10^9 \times \frac{6.0 \times 10^{-6}}{(0.20)^2} \cong -1.4 \times 10^6 \text{ N/C}$ . したがって, O に生じる電場は負の方向に  $E_A + E_B \cong 5.0 \times 10^6 \text{ N/C}$ .

**11.2** A の電荷が C につくる電場を  $E_A$ , B の電荷が C につくる電場を  $E_B$ , 2つの電場を合成したものを  $E_{AB}$  として表すと図のようになる. したがって, 電場の向きは①である.



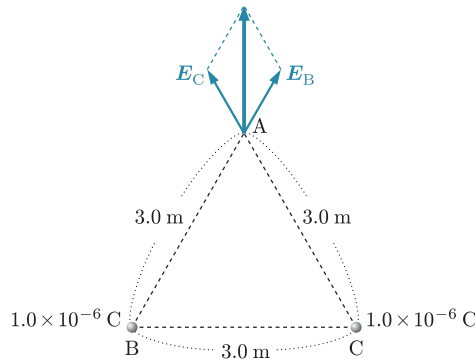
**11.3** (1) A の電荷  $q$  が C につくる電場の強さ  $E_A$ , B の電荷  $q$  が C につくる電場の強さ  $E_B$  は  $E_A = E_B = k \frac{q}{r^2}$  で同じであるが、電場の向きはそれぞれ図 (a), (b) のようになる。A の電荷が C につくる電場の  $x, y$  成分はそれぞれ  $E_{Ax} = \frac{1}{2}k \frac{q}{r^2}$ ,  $E_{Ay} = \frac{\sqrt{3}}{2}k \frac{q}{r^2}$  となる。また、B の電荷が C につくる電場の  $x, y$  成分は  $E_{Bx} = -\frac{1}{2}k \frac{q}{r^2}$ ,  $E_{By} = \frac{\sqrt{3}}{2}k \frac{q}{r^2}$  となる。したがって、C における電場の  $x$  成分と  $y$  成分は  $E_x = 0$ ,  $E_y = \sqrt{3}k \frac{q}{r^2}$  となる。



$$(2) F_x = 0, F_y = \sqrt{3}k \frac{q^2}{r^2}$$

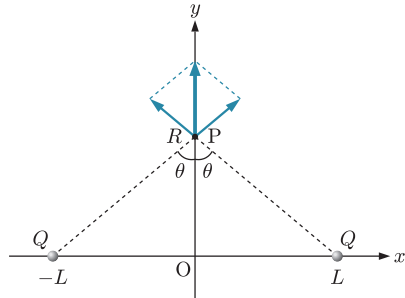
**11.4** 例題 11.8 から、電荷  $Q$  からの距離が  $r$  の点の電位は  $V(r) = k \frac{Q}{r}$  となる。これを用いると、電位は  $V(x) = k \left( \frac{q}{|x-a|} - \frac{q}{|x+a|} \right)$  と求まる。

**11.5** B, C の電荷が A につくる電場の強さをそれぞれ  $E_B$ ,  $E_C$  とすると、これらは等しく、  
 $E_B = E_C = 9.0 \times 10^9 \times \frac{1.0 \times 10^{-6}}{3.0^2} = 1.0 \times 10^3 \text{ N/C}$  となる。B の電荷がつくる電場の方向は B から A に向かう方向、C の電荷がつくる電場の方向は C から A に向かう方向であるので、これらを合成すると A の電場の強さは  $\sqrt{3} \times 10^3 \text{ N/C}$ 、方向は正三角形の中心から A に向かう方向になる。



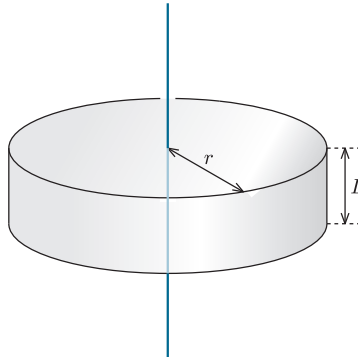
**11.6** (1) 対称性から, P における電場の  $x$  成分  $E_x$  は 0. 電場の  $y$  成分は

$$E_y = 2k \frac{Q}{L^2 + R^2} \cos \theta = 2kQ \frac{R}{(L^2 + R^2)^{\frac{3}{2}}}.$$

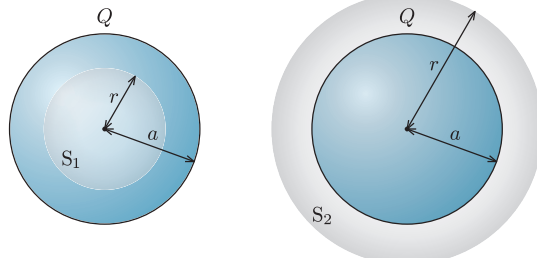


$$(2) \quad \frac{dE_y}{dR} = 2kQ \left( \frac{1}{(L^2 + R^2)^{\frac{3}{2}}} - 3 \frac{R^2}{(L^2 + R^2)^{\frac{5}{2}}} \right) = 0 \text{ から, } R = \frac{L}{\sqrt{2}}.$$

**11.7** 電荷分布の対称性から, 電場は導線に垂直な方向に放射状に生じている. ガウスの法則を適用する閉曲面として, 図のような導線を中心軸とする半径  $r$ , 長さ  $L$  の円筒を考える. 上下の面では電場のガウスの法則への寄与は 0 である. 側面では, 電場は面に垂直なので, 側面上での電場の強さを  $E$  としてガウスの法則を適用すると,  $2\pi r L E = \frac{\sigma L}{\epsilon_0}$  となる. したがって,  $E = \frac{\sigma}{2\pi r \epsilon_0}$  となる.



**11.8** ガウスの法則の閉曲面として, 球殼と中心を共有する半径  $r$  の球面を考える. 球対称性から, 球面上では電場は球面に垂直で, 電場の強さは一定である. 球殼の内部に球面  $S_1$  ( $r < a$ ) をとれば, 球の内部には電荷が存在しないので電場は 0 となる. また, 球殼の外部に球面  $S_2$  ( $r > a$ ) をとれば, ガウスの法則から  $4\pi r^2 E = \frac{Q}{\epsilon_0}$  が得られる. これから,  $E = \frac{1}{4\pi \epsilon_0} \frac{Q}{r^2}$  となる.



**11.9** 速さを  $v$  とすると, 運動エネルギーは  $\frac{1}{2}mv^2 = qV$ . したがって,  $v = \sqrt{\frac{2qV}{m}}$  となる.

**11.10** (1) 電荷  $q_1$  を固定して, 電荷  $q_2$  を無限遠から  $\mathbf{r}_2$  まで移動させる. このとき電場からの力に

逆らってする仕事が静電的位置エネルギーなので、 $R = |\mathbf{r}_2 - \mathbf{r}_1|$  を用いると、 $U_E = -\frac{q_1 q_2}{4\pi\epsilon_0} \int_{\infty}^{|\mathbf{r}_1 - \mathbf{r}_2|} \frac{1}{R^2} dR = \frac{1}{4\pi\epsilon_0} \frac{q_1 q_2}{|\mathbf{r}_1 - \mathbf{r}_2|}$  が得られる。

- (2)  $\mathbf{r}_2$  における電位は  $V_2 = \frac{1}{4\pi\epsilon_0} \frac{q_1}{|\mathbf{r}_2 - \mathbf{r}_1|}$ ,  $\mathbf{r}_1$  における電位は  $V_1 = \frac{1}{4\pi\epsilon_0} \frac{q_2}{|\mathbf{r}_2 - \mathbf{r}_1|}$  となるので、 $U_E = \frac{1}{2}(q_1 V_1 + q_2 V_2)$  となる。同様にして、電荷が 3 つの場合に対して、 $U_E, V_1, V_2, V_3$  を求めると、 $U_E = \frac{1}{4\pi\epsilon_0} \left( \frac{q_2 q_1}{|\mathbf{r}_1 - \mathbf{r}_2|} + \frac{q_3 q_1}{|\mathbf{r}_1 - \mathbf{r}_3|} + \frac{q_3 q_2}{|\mathbf{r}_2 - \mathbf{r}_3|} \right)$ ,  $V_1 = \frac{1}{4\pi\epsilon_0} \left( \frac{q_2}{|\mathbf{r}_1 - \mathbf{r}_2|} + \frac{q_3}{|\mathbf{r}_1 - \mathbf{r}_3|} \right)$ ,  $V_2 = \frac{1}{4\pi\epsilon_0} \left( \frac{q_3}{|\mathbf{r}_2 - \mathbf{r}_3|} + \frac{q_1}{|\mathbf{r}_2 - \mathbf{r}_1|} \right)$ ,  $V_3 = \frac{1}{4\pi\epsilon_0} \left( \frac{q_1}{|\mathbf{r}_3 - \mathbf{r}_1|} + \frac{q_2}{|\mathbf{r}_3 - \mathbf{r}_2|} \right)$  となる。これから、 $U_E = \frac{1}{2}(q_1 V_1 + q_2 V_2 + q_3 V_3)$  となる。また、この関係を一般化すると、 $U_E = \frac{1}{2} \sum_i q_i V_i$  となる。

**11.11** (1)  $V_B = 9.0 \times 10^9 \times \frac{2.0 \times 10^{-6}}{3.0} = 6.0 \times 10^3$  V,  $V_C = 9.0 \times 10^9 \times \frac{2.0 \times 10^{-6}}{4.0} = 4.5 \times 10^3$  V  
から  $V_B - V_C = 1.5 \times 10^3$  V.

(2)  $W_{C \rightarrow B} = 1.0 \times (V_B - V_C) = 1.0 \times 1.5 \times 10^3 = 1.5 \times 10^3$  J

**11.12** (1)  $V_C = 9.0 \times 10^9 \times \frac{2.0 \times 10^{-6}}{9.0} \times 2 = 4.0 \times 10^3$  V

(2)  $W_C = 2.0 \times 10^{-6} \times 4.0 \times 10^3 = 8.0 \times 10^{-3}$  J

## 第 12 章

**12.1** 3 つの  $6\Omega$  の抵抗が並列に接続されているとその合成抵抗は  $2\Omega$ , 2 つの  $4\Omega$  の抵抗が並列に接続されているとその合成抵抗は  $2\Omega$  になる。さらに、この 2 つが直列に接続されているので全体の合成抵抗は  $4\Omega$  となる。

**12.2** 可変抵抗の抵抗値を  $R$ , 回路を流れる電流を  $I$  とすると、 $E = I(R + r)$  なので、 $IR = E - Ir$  の関係が求まる。これから、 $V_1 = E - I_1 r$ ,  $V_2 = E - I_2 r$  が得られるので、電池の起電力と内部抵抗はそれぞれ  $r = \frac{V_1 - V_2}{I_2 - I_1}$ ,  $E = \frac{V_1 I_2 - V_2 I_1}{I_2 - I_1}$  となる。

**12.3** (1) 送電線を流れる電流は  $I = P/V$  で表され、単位時間当たりに発生するジュール熱は

$$RI^2 = \frac{RP^2}{V^2} \text{ となる。}$$

(2) ジュール熱は  $V$  の 2 乗に反比例するので、4 倍になる。したがって、送電する際のジュール熱による損失を減らすには、高電圧にした方がよい。

**12.4** 図では、キルヒホッフの第 1 法則が分岐点で満たされるように、電流  $I_1, I_2$  が示してある。ループ ABDA, BCDB にキルヒホッフの第 2 法則を適用すると  $(R_1 + R_3)I_1 - R_3 I_2 = V_1$ ,  $-R_3 I_1 + (R_2 + R_3)I_2 = V_2$  が得られる。これらから、 $I_1, I_2$  を求めると、 $I_1 = \frac{(R_2 + R_3)V_2 + R_3 V_2}{R_1 R_2 + R_2 R_3 + R_1 R_3}$ ,  $I_2 = \frac{(R_1 + R_3)V_2 + R_3 V_1}{R_1 R_2 + R_2 R_3 + R_1 R_3}$  となる。

**12.5** (1) コンデンサー  $C_1$  にかかる電圧と抵抗  $R$  にかかる電圧は同じである。抵抗  $r$  を流れる電流を  $I_1$  とすると、抵抗  $R$  を流れる電流も  $I_1$  であり、抵抗  $R$  にかかる電圧は  $RI_1$  となる。経路 ABCG について、キルヒホッフの第 2 法則を適用すると、 $rI_1 + RI_1 = E$  となる。したがって、 $V_1 = \frac{RE}{R+r}$  となる。

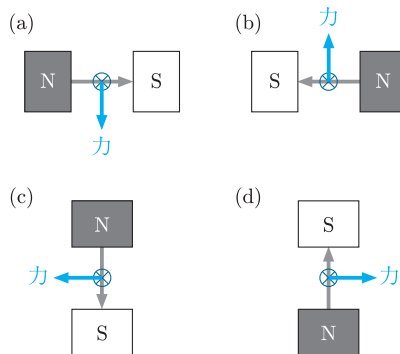
- (2) スイッチ S を b に入れると、コンデンサー  $C_1$  に溜まっていた電荷がコンデンサー  $C_2$  に移動する。そして、電荷の移動が終了すると、 $C_1$  の電圧と  $C_2$  の電圧が等しくなる。この電圧を  $V'$  とする。スイッチ S を b に入れる前の電気量を  $Q_0$  とすると、 $Q_0 = C_1 V_1$  であり、b に入れた後のコンデンサー  $C_1$  の電気量を  $Q_1$ 、コンデンサー  $C_2$  の電気量を  $Q_2$  とすると  $Q_1 = C_1 V'$ ,  $Q_2 = C_2 V'$  である。電気量は保存されるので  $Q_0 = Q_1 + Q_2$ 。これから  $V'$  を求めると、 $V' = \frac{C_1}{C_1 + C_2} V_1$  となる。以上のことから、 $Q_2 = C_2 V' = \frac{C_1 C_2}{C_1 + C_2} V_1$  が求まる。

## 第13章

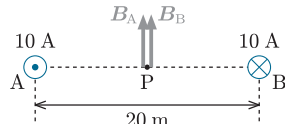
**13.1**  $F = \frac{q_m^2}{4\pi\mu_0 r^2}$  から、 $q_m = \sqrt{4\pi\mu_0 r^2 F} = \sqrt{1.58 \times 10^{-5} \times 0.100^2 \times 6.33 \times 10^2} \cong 0.0100 \text{ Wb}$ .

$$\mathbf{13.2} \quad B = \frac{\mu_0 I}{2\pi r} = \frac{4\pi \times 10^{-7} \times 20}{2\pi \times 1.0} = 4.0 \times 10^{-6} \text{ T}$$

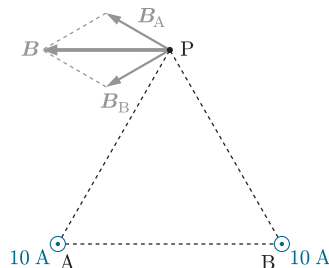
**13.3** フレミングの左手の法則から力の向きは図のようになる。したがって、紙面に平行で上向きの力を受けるのは (b)。



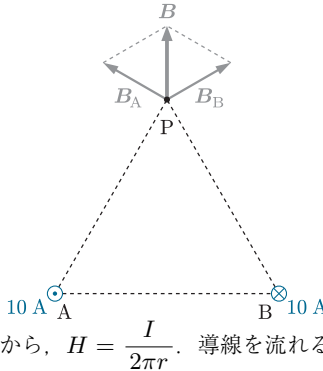
**13.4** 図のように、点 A, B の導線を流れる電流が点 P につくる磁束密度の強さをそれぞれ  $B_A$ ,  $B_B$  とすると、 $B_A = B_B = \frac{\mu_0 I}{2\pi r} = \frac{4\pi \times 10^{-7} \times 10}{2\pi \times 10} = 2.0 \times 10^{-7} \text{ T}$  となる。また、磁束密度はともに AB に垂直で上向きなので、これらを合成すると、P の磁束密度は  $B = 2.0 \times 10^{-7} \times 2 = 4.0 \times 10^{-7} \text{ T}$  となる。



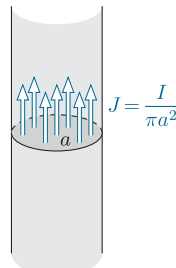
**13.5** 図のように、点 A, B の導線を流れる電流が点 P につくる磁束密度の強さをそれぞれ  $B_A$ ,  $B_B$  とすると、 $B_A = B_B = \frac{\mu_0 I}{2\pi r} = \frac{4\pi \times 10^{-7} \times 10}{2\pi \times 10} = 2.0 \times 10^{-7} \text{ T}$  となる。また、磁束密度はそれぞれ線分 AP, BP に垂直で、これらを合成すると、P の磁束密度は B から A に向かう方向で、その強さは  $B = 2.0 \times 10^{-7} \times \cos \frac{\pi}{6} \times 2 = 2.0 \times 10^{-7} \times \sqrt{3} \cong 3.5 \times 10^{-7} \text{ T}$  となる。



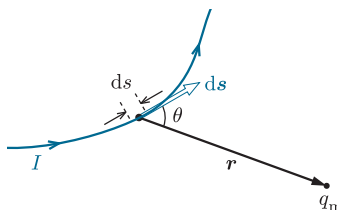
**13.6** 図のように、点A, Bの導線を流れる電流が点Pにつくる磁束密度の強さをそれぞれ $B_A, B_B$ とすると、 $B_A = B_B = \frac{\mu_0 I}{2\pi r} = \frac{4\pi \times 10^{-7} \times 10}{2\pi \times 10} = 2.0 \times 10^{-7}$  Tとなる。また、磁束密度を合成すると、Pの磁束密度は線分ABに垂直で上向きとなり、その強さは $B = 2.0 \times 10^{-7} \times \cos \frac{\pi}{3} \times 2 = 2.0 \times 10^{-7}$  Tとなる。



**13.7**  $r > a$  のとき、 $2\pi r H = I$  から、 $H = \frac{I}{2\pi r}$ 。導線を流れる電流密度は $J = \frac{I}{\pi a^2}$ 。 $r < a$  のとき、アンペールの法則は $2\pi r H = J \times \pi r^2$  となるので、 $H = \frac{Ir}{2\pi a^2}$ 。

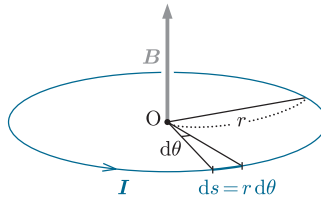


**13.8** 図のように、電流  $I$  が流れている導線の微小部分  $ds$  を大きさとし、微小部分における導線の接線方向を向きとするベクトルを  $d\mathbf{s}$  とする。また、微小部分を始点とする位置ベクトル  $\mathbf{r}$  の終点に磁荷  $q_m$  があるとする。 $q_m$  が  $ds$  の部分につくる磁束密度は  $\mathbf{B} = \mu_0 \mathbf{H} = \frac{q_m}{4\pi r^3} (-\mathbf{r}) = -\frac{q_m}{4\pi r^3} \mathbf{r}$  となる。この磁場のため、 $ds$  の部分は  $I d\mathbf{s} \times \mathbf{B} = -I d\mathbf{s} \times \frac{q_m}{4\pi r^3} \mathbf{r}$  の力を受ける。作用・反作用の法則により、 $q_m$  に  $I d\mathbf{s}$  が受ける力の符号を反対にした力  $\mathbf{F} = I d\mathbf{s} \times \frac{q_m}{4\pi r^3} \mathbf{r}$  が作用することになる。これは  $ds$  が  $q_m$  の位置につくる磁場が  $\frac{I d\mathbf{s} \times \mathbf{r}}{4\pi r^3}$  であることを示す。また、 $d\mathbf{s}$  と  $\mathbf{r}$  のなす角度を  $\theta$  とすると、磁束密度の強さは  $\mu_0 \frac{I \sin \theta}{4\pi r^2} ds$  となる。



**13.9** 円の微小部分  $ds = r d\theta$  の電流がOにつくる磁束密度の強さは  $dB = \mu_0 \frac{Ir d\theta \sin \frac{\pi}{2}}{4\pi r^2} = \mu_0 \frac{I d\theta}{4\pi r}$ 。微小部分を円周にわたって加え合わせると、Oにつくられる磁束密度の強さは、 $B = \mu_0 \frac{I}{4\pi r} \int_0^{2\pi} d\theta =$

$\frac{\mu_0 I}{2r}$ . また、磁束密度の向きは、右ねじの法則から円に垂直で上向きになる。



$$13.10 \quad B = \frac{\mu_0 I}{2r} = \frac{1.26 \times 10^{-6} \times 10}{2 \times 0.100} = 6.3 \times 10^{-5} \text{ T}$$

13.11 単位長さあたりの巻き数を  $n$  とすると、磁場の強さは、 $H = nI$  となる。したがって、  
 $\frac{1000}{0.50} \times 1.0 = 2.0 \times 10^3 \text{ A/m}$ .

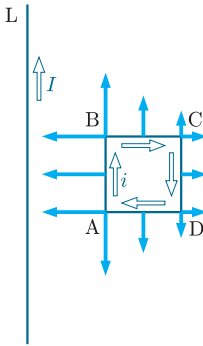
$$13.12 \quad B = \frac{F}{IL} = \frac{180}{6 \times 6} = 5 \text{ T}$$

13.13 (1) 磁場中を進む荷電粒子はローレンツ力を受け、その大きさは  $qv_0B$  である。円運動の半径を  $r$  とすると、円運動の運動方程式は  $m\frac{v_0^2}{r} = qv_0B$  となり、これから  $r = \frac{mv_0}{qB}$ 、周期は  $T = \frac{2\pi r}{v_0} = \frac{2\pi m}{qB}$  と求まる。また、回転の方向はフレミングの左手の法則を適用すると、b となる。

(2) 磁場に平行な電場が加わったので、 $q$  は紙面の裏から表に向かう方向に大きさ  $qE_1$  の力を受け、 $q$  は電場の方向に加速される。その加速度の大きさは運動方程式  $ma = qE_1$  から  $\frac{qE_1}{m}$  であり、 $t$  秒後の速さは  $\frac{qE_1}{m}t$  となる。三平方の定理を用いて、この速さと  $v_0$  を合成すると、時刻  $t$  における速さは  $v = \sqrt{v_0^2 + \left(\frac{qE_1}{m}t\right)^2}$  と求まる。

13.14 A から B に向かう電場  $E = \frac{V}{d}$  による力とローレンツ力がつり合えばよい。荷電粒子の電荷を  $q$  とすると、 $q\frac{V}{d} = qv_0B$  となる。これから、 $B = \frac{V}{v_0 d}$ .

13.15 電流  $I$  が辺 AB の位置につくる磁束密度は紙面に垂直で表から裏に向かう。また、磁束密度の強さは  $B_{AB} = \mu_0 H = \mu_0 \frac{I}{2\pi d}$  となる。これによって、AB が受ける力は、大きさが  $F_{AB} = iB_{ABA}a = \mu_0 \frac{iIa}{2\pi d}$  で、左向きである。同様にして、辺 CD が受ける力は、大きさが  $F_{CD} = iB_{CDA}a = \mu_0 \frac{iIa}{2\pi(a+d)}$  で、右向きである。辺 BC が受ける力は上向きで、辺 DA が受ける力は下向きであり、L から等しい距離はなれた部分では、同じ大きさの力が働くので、BC と DA が受ける力は打ち消し合う。したがって、合力は、その大きさが  $F = F_{AB} - F_{CD} = \mu_0 \frac{iIa^2}{2\pi d(a+d)}$  で、左向きである。



## 第 14 章

**14.1** 回路を貫く磁束は  $\Phi = \pi a^2 B = \pi a^2 B_0 \cos \omega t$ . これから、誘導起電力は  $V = -\frac{d\Phi}{dt} = \pi a^2 B_0 \omega \sin \omega t$ .

**14.2**  $\omega$  で回転する長さ  $L$  の導体が、時間  $t$  の間に掃引する面積は  $S = \pi L^2 \frac{\omega t}{2\pi} = \frac{L^2 \omega t}{2}$ .  $S$  を貫く磁束は  $\Phi = BS = B \frac{L^2 \omega t}{2}$  となるので、誘導起電力は  $V = -\frac{d\Phi}{dt} = -\frac{BL^2 \omega}{2}$ .

**14.3** 導体棒 ef には  $f \rightarrow e$  の向きに誘導電流が流れる。誘導起電力の大きさは  $V = BvL$  なので、抵抗を流れる電流は  $I = \frac{V}{R} = \frac{BvL}{R}$ . 導体棒が受ける力は、大きさが  $F = IBL = \frac{vB^2 L^2}{R}$  で、上向きである。速さ  $v$  が一定に保たれるためには、 $F$  と導体棒に働く重力が等しければよい。したがって、 $F = \frac{vB^2 L^2}{R} = mg$  から、 $v = \frac{Rmg}{B^2 L^2}$ .

**14.4** (1) レンツの法則から、誘導電流は磁束の変化を妨げる方向に流れるので、 $t = 0 \sim 10\text{s}$  では電流は  $a \rightarrow b \wedge$ ,  $t = 30 \sim 35\text{s}$  では  $b \rightarrow a \wedge$  流れる。 $t = 10 \sim 30\text{s}$  では磁束の変化はないので電流は流れない。

$$(2) t = 0 \sim 10\text{s} \text{ では, 電磁誘導の式 (14.5) から } V_{ab} = \left| -n \frac{d\Phi}{dt} \right| = 100 \times \frac{50 \times 2.0 \times 10^{-3}}{10} = 1.0\text{V.}$$

$$t = 30 \sim 35\text{s} \text{ では, } V_{ab} = \left| -n \frac{d\Phi}{dt} \right| = 100 \times \frac{50 \times 2.0 \times 10^{-3}}{5} = 2.0\text{V. } t = 10 \sim 30\text{s} \text{ では}$$

磁束の変化はないので、誘導起電力は発生しない。

**14.5** 回路を貫く磁束を  $\Phi$ 、生じる誘導起電力を  $V$  とする。

(i)  $t < 0$  のとき、 $\Phi = 0$ ,  $V = 0$ . (ii)  $0 < t < \frac{b}{v}$  のとき、 $\Phi = Bavt$ ,  $V = -Bav$ . 誘導電流の向きは ABCDA である. (iii)  $\frac{b}{v} < t < \frac{L}{v}$  のとき、 $\Phi = Bba$ ,  $V = 0$ . (iv)  $\frac{L}{v} < t < \frac{L+b}{v}$  のとき、 $\Phi = Ba(b+L-vt)$ ,  $V = Bav$ . 誘導電流の向きは ADCBA である. (v)  $\frac{L+b}{v} < t$  のとき、 $\Phi = 0$ ,  $V = 0$ .

**14.6** (1) 回路を貫く磁束が増加するので、その変化を妨げる向きに誘導電流が流れる。右ねじの法則から  $b \rightarrow a$  の向き (adcba の向き) に誘導電流が流れる。

$$(2) 時刻  $t$  における磁束密度は  $B(t) = \frac{B_0}{T}t$ . これから、回路を貫く磁束は  $\Phi(t) = B(t)L^2 = \frac{B_0 L^2}{T}t$$$

となるので、 $\Delta t$  の間の磁束の変化量は  $\Delta\Phi = \frac{B_0 L^2}{T} \Delta t$ .

$$(3) \text{ 回路に発生する誘導起電力は } V = -\frac{\Delta\Phi}{\Delta t} = -\frac{B_0 L^2}{T}.$$

## 第15章

**15.1**  $P = VI$  の関係から,  $I = \frac{P}{V} = \frac{50}{100} = 0.5$  A.

**15.2** 三角関数の加法定理を用いると, 電力は  $P = \frac{1}{T} \int_0^T V(t)I(t) dt = \frac{V_0 I_0}{T} \int_0^T \cos \omega t \cos(\omega t - \phi) dt$   $= \frac{V_0 I_0}{T} \int_0^T (\cos \omega t \cos \omega t \cos \phi + \cos \omega t \sin \omega t \sin \phi) dt$  と表される. ここで,  $\int_0^T \cos \omega t \sin \omega t dt = \frac{1}{2} \int_0^T \sin 2\omega t dt = 0$  なので,  $P = \frac{V_0 I_0}{2} \cos \phi$  が得られる.  $\cos \phi$  は力率といわれる. 交流の場合, 負荷に加える電圧と流れる電流の積(皮相電力  $\frac{V_0 I_0}{2}$ )は, 負荷で熱や仕事として消費される電力(有効電力)とは必ずしも一致しない. 力率は「力率 =  $\frac{\text{有効電力}}{\text{皮相電力}}$ 」として定義され, 交流電力の効率を表す.

**15.3** (1) スイッチを a に接続したときの時刻を 0 とし, 時刻  $t$  においてコンデンサーに蓄えられている電荷, 回路を流れる電流をそれぞれ  $Q(t)$ ,  $I(t)$  とする. キルヒ霍フの第2法則から,  $IR + \frac{Q}{C} = V_0$  の関係が得られ,  $I = \frac{dQ}{dt}$  の関係を用いると,  $R \frac{dQ}{dt} + \frac{Q}{C} = V_0$  と変形できる. 初期条件を  $t = 0$  のとき  $Q = 0$  とすると, コンデンサーの電荷は  $Q(t) = CV_0 \left(1 - e^{-\frac{t}{RC}}\right)$  となる. これから, 電流を求めるとき,  $I(t) = \frac{dQ}{dt} = \frac{V_0}{R} e^{-\frac{t}{RC}}$  となる.

(2) スイッチを b に接続すると,  $R \frac{dQ}{dt} + \frac{Q}{C} = 0$  となる. 初期条件を  $t = 0$  のとき  $Q = Q_0$  とするとき, コンデンサーの電荷は  $Q(t) = Q_0 e^{-\frac{t}{RC}}$  となる. また, 電流は  $I(t) = -\frac{Q_0}{RC} e^{-\frac{t}{RC}}$  となる. 負の電流は電荷の放電を表す.

**15.4** (1) スイッチを a に接続したときの時刻を 0 とし, 時刻  $t$  において回路を流れる電流を  $I(t)$  とする. キルヒ霍フの第2法則から,  $RI + L \frac{dI}{dt} = V_0$  の関係が得られる. 初期条件を  $t = 0$  のとき  $I = 0$  とすると, 回路を流れる電流は  $I(t) = \frac{V_0}{R} \left(1 - e^{-\frac{R}{L}t}\right)$  となる.

(2) スイッチを b に接続すると,  $RI + L \frac{dI}{dt} = 0$  となる. 初期条件を  $t = 0$  のとき  $I = I_0$  とすると,  $I(t) = I_0 e^{-\frac{R}{L}t}$  が得られる.

**15.5** スイッチが b に接続されているとき, キルヒ霍フの第2法則から,  $L \frac{d^2Q}{dt^2} + \frac{Q}{C} = 0$  が得られる. これから, コンデンサーの電荷  $Q(t)$  の一般解を求めるとき,  $Q(t) = A \cos \omega t + B \sin \omega t$  となるので, 回路を流れる電流は  $I(t) = \frac{dQ}{dt} = -\omega A \sin \omega t + \omega B \cos \omega t$  と求まる. また, 初期条件( $t = 0$  のとき  $Q = Q_0$ ,  $I = 0$ )から,  $A = Q_0$ ,  $B = 0$  が得られ, 求める電流は  $I(t) = -\omega Q_0 \sin \omega t$  となる.

**15.6** (1) インピーダンスの定義から,  $Z = \frac{100}{2.0} = 50$  Ω.

(2) インピーダンス  $Z$ , 抵抗  $R$ , リアクタンス  $\omega L$  の間には  $Z^2 = R^2 + (\omega L)^2$  の関係が成り立つ. したがって, リアクタンスは  $(\omega L)^2 = Z^2 - R^2 = 2500 - 1600 = 900 \Omega^2$  より,  $\omega L = 30 \Omega$  が得られる.

(3) コイルの自己インダクタンスは  $L = \frac{30}{\omega} = \frac{30}{2\pi \times 50} \cong 0.096$  H.

**15.7** (1) インピーダンスの定義から,

$$Z = \sqrt{R^2 + \left(\omega L - \frac{1}{\omega C}\right)^2} = \sqrt{100^2 + \left(2\pi \times 50.0 \times 1.00 - \frac{1}{2\pi \times 50.0 \times 2.00 \times 10^{-6}}\right)^2} \cong 1.28 \times 10^3 \Omega.$$

(2) 回路を流れる電流の実効値は  $\frac{100}{1.28 \times 10^3} \cong 0.0781 \text{ A}$ .

(3) 共振角周波数は  $\frac{1}{\sqrt{LC}} = \frac{1}{\sqrt{1.00 \times 2.00 \times 10^{-6}}} \cong 707 \text{ rad/s}$ .

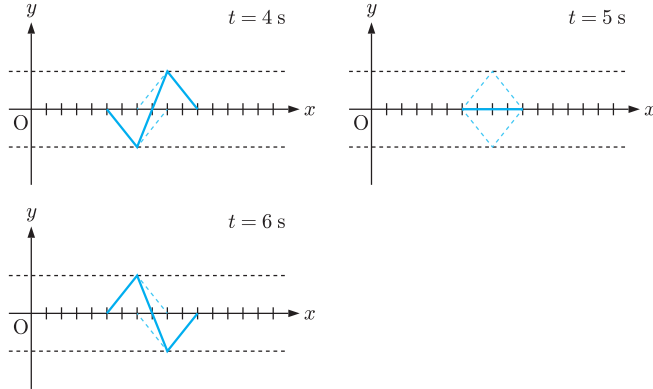
## 第17章

**17.1** 正の向きに進む波は  $y = A \sin \frac{2\pi}{T} \left(t - \frac{x}{v}\right)$  と表される。 $T = 0.2 \text{ s}$ ,  $\lambda = 8 \text{ m}$  から  $v = \frac{\lambda}{T} = 40 \text{ m/s}$ .  $t = 0 \text{ s}$  のとき図の状態になるためには、 $y = -1.2 \sin 10\pi \left(t - \frac{x}{40}\right)$ .

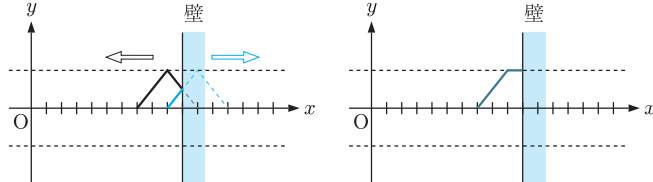
**17.2** (1) 波を表す式  $y = A \sin 2\pi f \left(t - \frac{x}{v}\right) = A \sin 2\pi \left(\frac{t}{T} - \frac{x}{\lambda}\right)$  と  $y = 2 \sin 2\pi \left(\frac{t}{4} - \frac{x}{2}\right)$  を比較すると、周期は  $T = 4 \text{ s}$ , 波長は  $\lambda = 2 \text{ m}$ , 振幅は  $A = 2 \text{ m}$ .

(2) 波の振動数は  $f = \frac{1}{T} = 0.25 \text{ Hz}$ , 伝わる速さは  $v = \lambda f = 2 \times 0.25 = 0.5 \text{ m/s}$ .

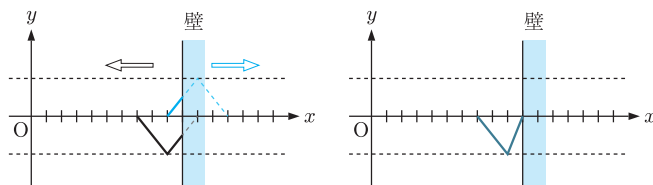
### 17.3



### 17.4 (1)



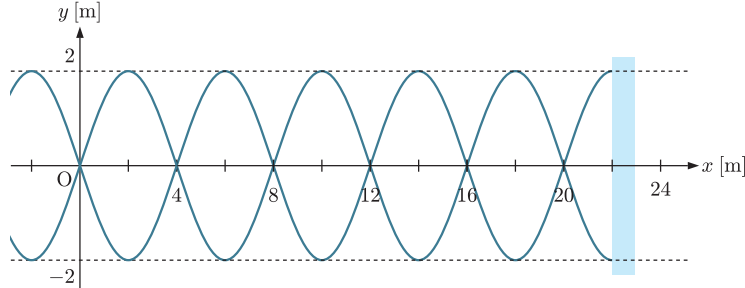
### (2)



**17.5** (1) 波形の山から谷に向かう傾斜部の中点は密で、谷から山に向かう傾斜部の中点は疎なので、 $P_6, P_{14}$  が密の中心、 $P_2, P_{10}$  が疎の中心である。

- (2) 変位の大きさが最大の点は振動の折り返し点で、速さは 0 となるので、速度が 0 となる点は  $P_4$ ,  $P_8$ ,  $P_{12}$  である。
- (3) 変位が 0 のところで速さが最大となる。波は  $x$  軸の正の方向に進むので、 $P_2$ ,  $P_6$ ,  $P_{10}$ ,  $P_{14}$  のうち速度が正なのは  $P_6$  と  $P_{14}$  である。
- (4)  $P_2$  と  $P_{10}$  の間が 1 波長になるので、 $\lambda = 16 \text{ cm}$ ,  $f = \frac{v}{\lambda} = 5 \text{ s.}$

### 17.6



- (1)  $v = 4 \text{ cm/s}$
- (2)  $x = 22 \text{ cm}$  で自由端反射されることにより生じる定常波は、 $x = 22 \text{ cm}$  を腹とする定常波である。  
 (a)  $x = 12 \text{ cm}$  における振幅は 0 cm,  $x = 14 \text{ cm}$  における振幅は 2 cm.  
 (b)  $x = 6 \text{ cm}$  における変位は  $-0.3 \text{ cm}$ ,  $x = 10 \text{ cm}$  における変位は  $0.3 \text{ cm}$ .

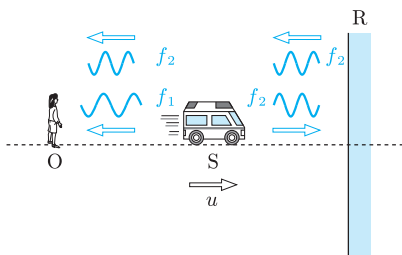
- 17.7** (1) P から腹 S までの距離を  $x$  とする。P と Q から出た波が強め合って腹となるための条件は  $|PS - QS| = m\lambda$  ( $m = 0, 1, 2, \dots$ )。これから、 $|x - (12 - x)| = |2x - 12| = m\lambda$  が得られる。 $6 \text{ cm} \leq x < 12 \text{ cm}$  のとき、 $x = 6, 7.5, 9, 10.5 \text{ cm}$  が腹となる。また、 $0 \text{ cm} \leq x < 6 \text{ cm}$  のとき  $x = 1.5, 3, 4.5 \text{ cm}$  が腹となる。
- (2) 線分 PQ の延長線上で、P, Q の外側では位相がそろった波が同じ速さ、同じ波長で進むので、振幅が 2 倍の波ができる。

### 第18章

**18.1** 長さ 0.25 m のメスシリンダーに基本音が生じたとき、その波長は  $\lambda = 0.25 \times 4 = 1.0 \text{ m}$ 。これから、基本音の振動数は  $f = \frac{v}{\lambda} = \frac{340}{1.0} = 340 \text{ Hz}$ 。

**18.2** 振動数  $f$  の音波を出す音源が速さ  $u_s$ 、観測者が速さ  $u_o$  で直線上を動くとき、観測者が聞く音波の振動数は  $f' = \frac{V - u_o}{V - u_s} f$ 。近づくときは  $u_s = 26.0 \text{ m/s}$ ,  $u_o = -16.0 \text{ m/s}$  なので  $f' = \frac{340 + 16.0}{340 - 26.0} \times 800 \cong 907 \text{ Hz}$ 。遠ざかるときは  $u_s = -26.0 \text{ m/s}$ ,  $u_o = 16.0 \text{ m/s}$  なので  $f' = \frac{340 - 16.0}{340 + 26.0} \times 800 \cong 708 \text{ Hz}$ 。

**18.3** S の速さを  $u = 2 \text{ m/s}$ 、音波の振動数を  $f = 684 \text{ Hz}$  とする。



$$(1) f_1 = \frac{V}{V - (-u)} f = \frac{340}{340 + 2} \times 684 = 680 \text{ Hz}$$

$$(2) \quad f_2 = \frac{V}{V-u} f = \frac{340}{340-2} \times 684 \cong 688 \text{ Hz}$$

$$(3) \quad \Delta f = f_2 - f_1 = 8 \text{ Hz}$$

$$18.4 \quad v = \frac{c}{n} = \frac{3.0 \times 10^8}{1.5} = 2.0 \times 10^8 \text{ m/s}$$

$$18.5 \quad (1) \quad n = \frac{\sin \theta_1}{\sin \theta_2} \cong \frac{\tan \theta_1}{\tan \theta_2} = \frac{PA}{P'A} = \frac{h}{h'}$$

$$(2) \quad h' = \frac{h}{n} = \frac{2.6}{1.3} = 2.0 \text{ m}$$

18.6 波長が長波長側に変化しているので、銀河は遠ざかっている。銀河が遠ざかる速さを  $u$ 、観測者が観測する波長を  $\lambda'$  とすると  $\lambda' = \frac{c+u}{c}\lambda$ 。これから、波長変化は  $\Delta\lambda = \frac{u}{c}\lambda$ 。この式に、 $\Delta\lambda = 2.88 \times 10^{-10} \text{ m}$ ,  $\lambda = 3.934 \times 10^{-7} \text{ m}$ ,  $c = 3.00 \times 10^8 \text{ m/s}$  を代入して、 $u$  を求めると  $u = \frac{\Delta\lambda}{\lambda}c = \frac{2.88 \times 10^{-10}}{3.934 \times 10^{-7}} \times 3.00 \times 10^8 \cong 2.20 \times 10^5 \text{ m/s}$ .

$$18.7 \quad (1) \quad v = \frac{c}{n} = \frac{3.00 \times 10^8}{1.33} \cong 2.26 \times 10^8 \text{ m/s}$$

$$(2) \quad \sin \theta_C = \frac{1.00}{1.33} \text{ から } \theta_C \cong 48.8^\circ.$$

$$18.8 \quad (1) \quad \frac{\lambda}{n}$$

(2) 薄膜中の光速は  $\frac{c}{n}$ 、 $S_1$  から入射した光が  $S_2$  で反射して再び  $S_1$  に戻るまでの経路長は  $2d$  なので、求める時間は  $\frac{2nd}{c}$ .

(3)  $m$  を 0 を含めた正の整数とすると、強め合う条件は  $2nd = \left(m + \frac{1}{2}\right)\lambda$ 、弱め合う条件は  $2nd = m\lambda$ .

$$(4) \quad 1.1 \times 10^{-7} \text{ m}$$